

## Evolutionsgleichung & Strukturfunktionen

Die DGLAP-Evolutionsgleichung hat Bedeutung nicht nur für die Fragmentationsfunktionen, sondern auch für die Strukturfunktionen, welche die innere Dynamik von beispielsweise dem Proton beschreibt.

Zur Erinnerung: Im statischen Quarkmodell war das Proton durch

$$|p\rangle = \Psi(\text{flavour}) = (\text{uud} - \text{dnu})/\sqrt{2} + \text{Permutationen}$$

gegeben. Aber die Quarks u, u, d verharren nicht statisch im Proton.

→ Strukturuntersuchung am Proton durch Streuung von Photonen ( $\cong$  "Röntgenbild") mit Auflösung:

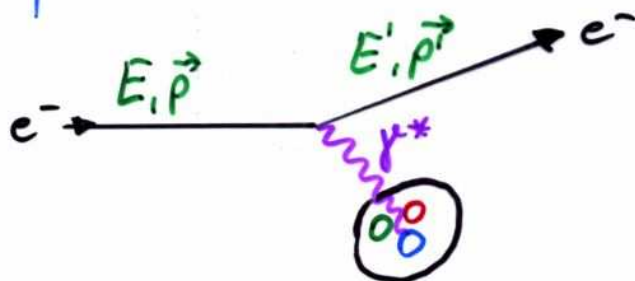
$$\lambda = \frac{c}{\nu} = \frac{hc}{h\nu} = \frac{hc}{E_{\text{Photon}}} \cong \frac{1.24 \text{ fm}}{E_{\text{Photon}} [\text{GeV}]}$$

, d.h.  $E_{\text{Photon}} > 1 \text{ GeV}$  macht innere Protonstrukturen sichtbar.

# Prinzip der Strukturuntersuchung

Photonenquelle?

... z.B. ein Elektronenstrahl:



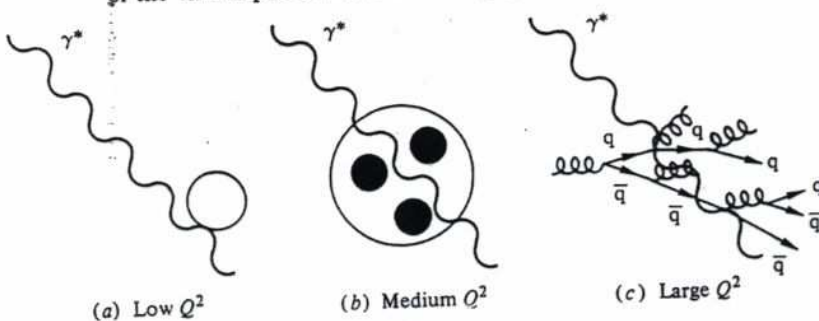
Dabei ist das Photon aber i.A. virtuell, d.h.

$$q_\gamma = \begin{pmatrix} E_\gamma \\ \vec{p}_\gamma \end{pmatrix} \quad \text{mit} \quad q_\gamma^2 = E_\gamma^2 - (\vec{p}_\gamma)^2 < 0$$

und zwar  $< 0$ , weil meist  $E' \approx E$ , aber  $|\vec{p}_\gamma| = |\vec{p}' - \vec{p}| \gg 0$   
(Reelle Photonen haben  $q_\gamma^2 = m_\gamma^2 = 0$ )

Auch für virtuelle Photonen gilt:  $\lambda \approx \frac{1.24 \text{ fm}}{\sqrt{|q_\gamma^2| [\text{GeV}^2]}}$

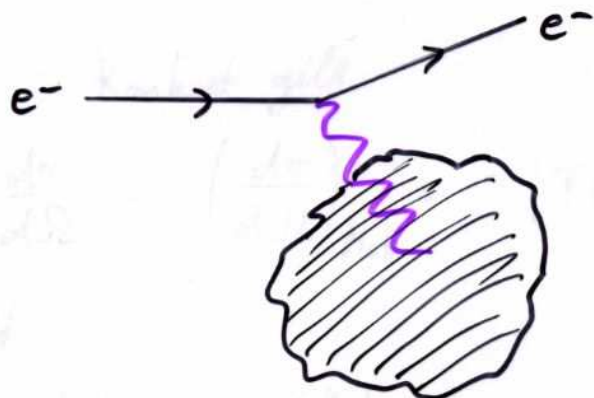
Fig. 7.14 Schematic diagram showing the change in the resolution of the virtual photon with increasing  $Q^2$ .



$$|q_\gamma^2| < 1 \text{ GeV}^2 \quad > 1 \text{ GeV}^2 \quad \gg 1 \text{ GeV}^2$$

## Formfaktoren und Ladungsdichtevertteilung

Die Streuung (unpolarisierter) Elektronen an einer (ausgedehnten) Ladungsverteilung ...



... mit Gesamtladung  $Z \cdot e$   
und Ladungsdichtevertteilung  
 $g(x)$  ( $\int g(\vec{x}) d^3x = Z \cdot e$ )

kann durch so genannte Formfaktoren beschrieben werden. Ein solcher Formfaktor ist z.B. gerade die Fouriertransformierte der Ladungsdichte  $g$ :

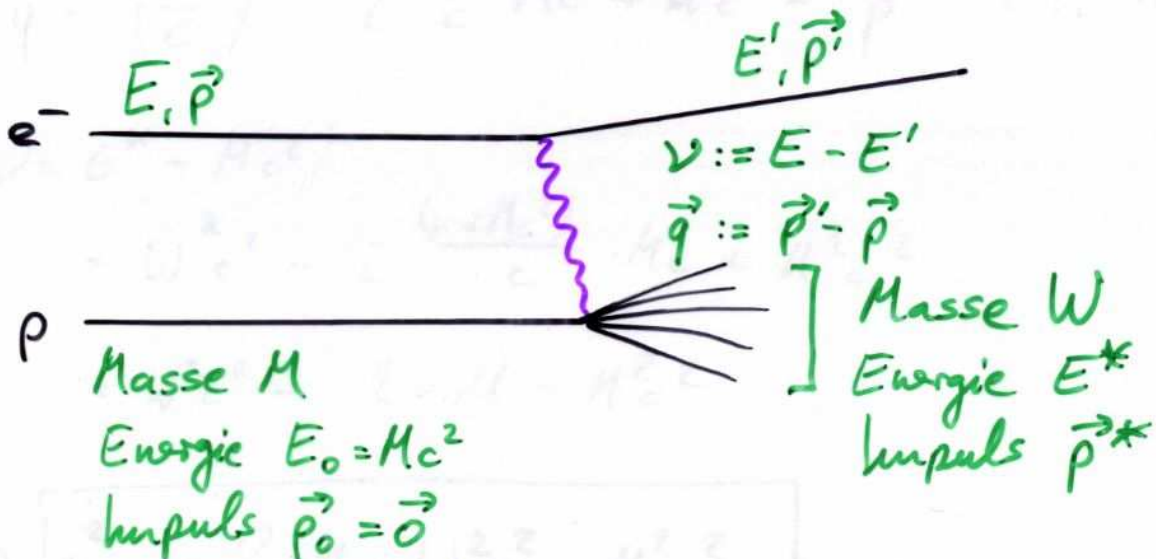
$$F(\vec{q}) = \int g(\vec{x}) e^{i\vec{q} \cdot \vec{x}/\hbar} d^3x$$

↑  
 Impulsübertrag  
 $\vec{q} = \vec{p}' - \vec{p}$

$$\Rightarrow \begin{array}{l} \text{Punktladung } g(\vec{x}) = \delta(\vec{x}) \rightarrow \text{Formfaktor } F(\vec{q}) = \text{const.} \\ \text{Nukleon } \exp(-r/b) \rightarrow u (1 + b^2 q^2 / \hbar^2)^{-1} \end{array}$$

(eigentlich gilt die Implikation fürs Nukleon umgekehrt: Aus der Messung des Formfaktors wurde die Ladungsdichte bestimmt und parametrisiert.)

# Kinematik im (un-)elastischen Stoß



$$\Rightarrow q = \begin{pmatrix} v/c \\ \vec{q} \end{pmatrix} \quad \text{und} \quad q^2 = \left(\frac{v}{c}\right)^2 - \vec{q}^2$$

Der Viererimpuls  $q$  ist aber auch durch Protonanfangs- und -endzustand gegeben:

$$q = \begin{pmatrix} v/c \\ \vec{q} \end{pmatrix} = \begin{pmatrix} E^*/c - Mc^2/c \\ \vec{p}^* - \vec{0} \end{pmatrix}$$

$$\Rightarrow q^2 = \left(\frac{E^*}{c} - Mc\right)^2 - (\vec{p}^* - \vec{0})^2$$

$$\text{Und mit } v = E^* - Mc^2 \quad \text{und} \quad W^2 c^2 := \left(\frac{E^*}{c}\right)^2 - (\vec{p}^*)^2$$

$$\Rightarrow \boxed{q^2 = -2vM + W^2 c^2 - M^2 c^2 =: -Q^2}$$

z.B. elastischer Stoß:  
 $W^2 = M^2$

$$\boxed{q_{\text{elast.}}^2 = -2vM}$$

## Dimensionslose Variablen

$$x := \frac{Q^2}{2\nu M} = \frac{-q^2}{2\nu M}$$

$$\in [0, 1]$$

$$y := \frac{\nu}{E} = \frac{E - E'}{E}$$

$$\in [0, 1]$$

Alle Wirkungsquerschnitte werden in diesen Variablen geschrieben.  
 (elast. Streuung  $\Rightarrow x=1$ ). ( $x$  ist dabei gerade der Bruchteil  
 der Protonenergie und-impuls, den ein Quark trägt:

$$E_q = x \cdot E_{\text{Proton}} ; \quad p_{L,q} = x \cdot p_{L,\text{Proton}} ; \quad p_{T,q} = p_{T,\text{Proton}} = 0$$

Kinematisch erlaubter Bereich für  $e p \rightarrow e X$ :

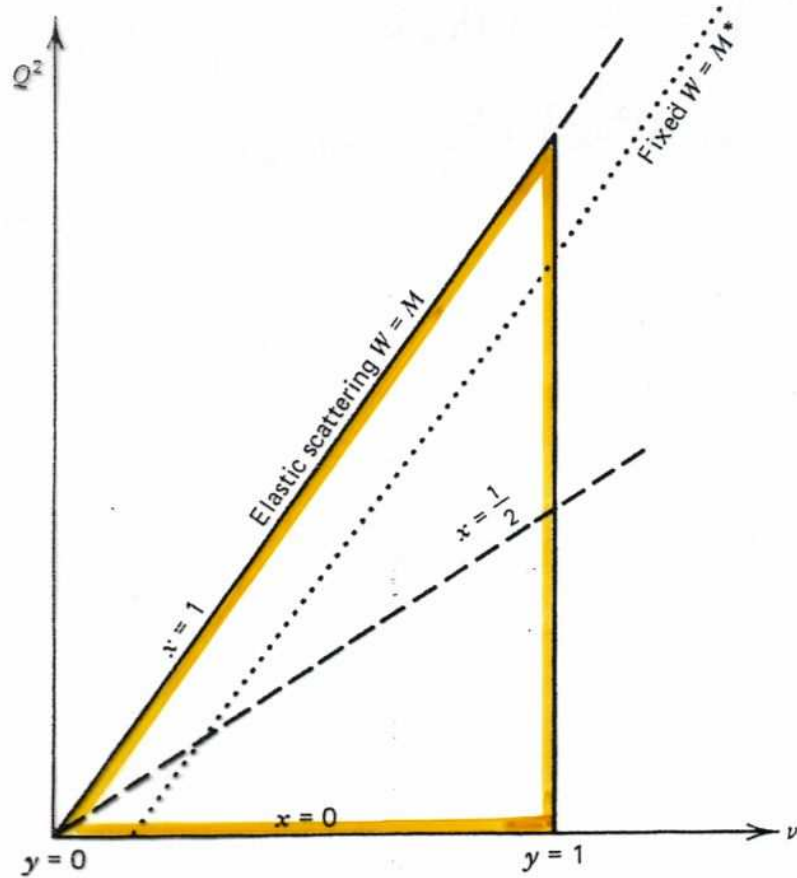
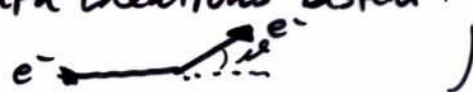


Fig. 9.3 The triangle is the allowed kinematic region for  $e p \rightarrow e X$ .  $\nu_{\max} = E$  in the laboratory frame.  $W$  is the invariant mass of the hadronic state  $X$ , see (8.29).

Alle Prozesse, ob elastisch oder unelastisch liegen innerhalb dieses Dreiecks. Beispielsweise kann die Erzeugung einer Resonanz mit der Masse  $M^*$  nur entlang der gepunkteten Linie erfolgen (, wodurch eine feste Relation zwischen Energie  $E$  und Streuwinkel  $\vartheta$  des gestreuten Elektrons besteht :



# Bjorken Scaling

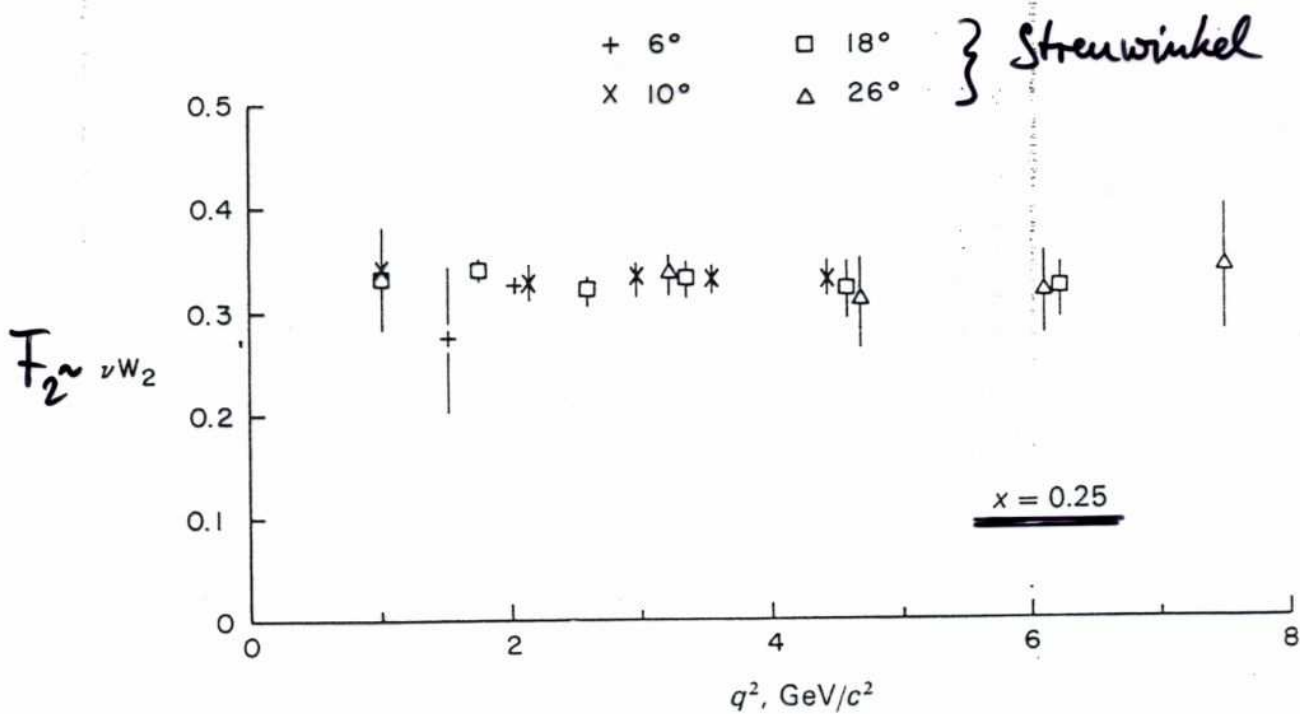


Fig. 7.17  $\nu W_2$  (or  $F_2$ ) as a function of  $q^2$  at  $x = 0.25$ . For this choice of  $x$ , there is practically no  $q^2$ -dependence, that is, exact "scaling". (After Friedman and Kendall 1972.)

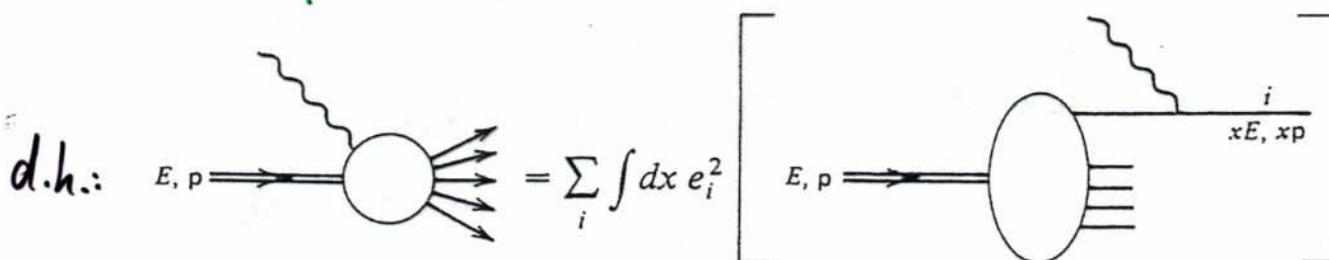
Prinzipiell hängt der "Formfaktor" bei unelastischer Streuung von  $Q^2 = -q^2$  und  $x$  ab. Da damit die Struktur des Protons beschrieben wird, nennt man diese Funktion  $F(Q^2, x)$  Strukturfunktion (, wobei man zwei Funktionen  $F_1, F_2$  unterscheidet durch die transversale oder longitudinale Polarisation des virtuellen Photons.)

Die experimentelle Beobachtung des Bjorken Scalings belegt die Existenz punktförmiger Konstituenten (Quarks) im Proton! (Beachte: Punktladung  $\rightarrow$  Formfaktor = const.)

## Interpretation der Strukturfunktion

Mit dem Bild punktförmiger Konstituenten im Proton kann man die Strukturfunktion als eine Überlagerung ansiehen:

$$F_2(x) = \sum_i e_i^2 \times f_i(x)$$



Und zwar der punktförmigen Partonen  $i$ , die das Proton aufbauen ( $i = u, d, \dots$ , mit Ladung  $e_i$ ) und jeweils einen Bruchteil  $x$  des Protonimpulses und -energie tragen.

Die Impulsverteilung dieser Partonen ist durch

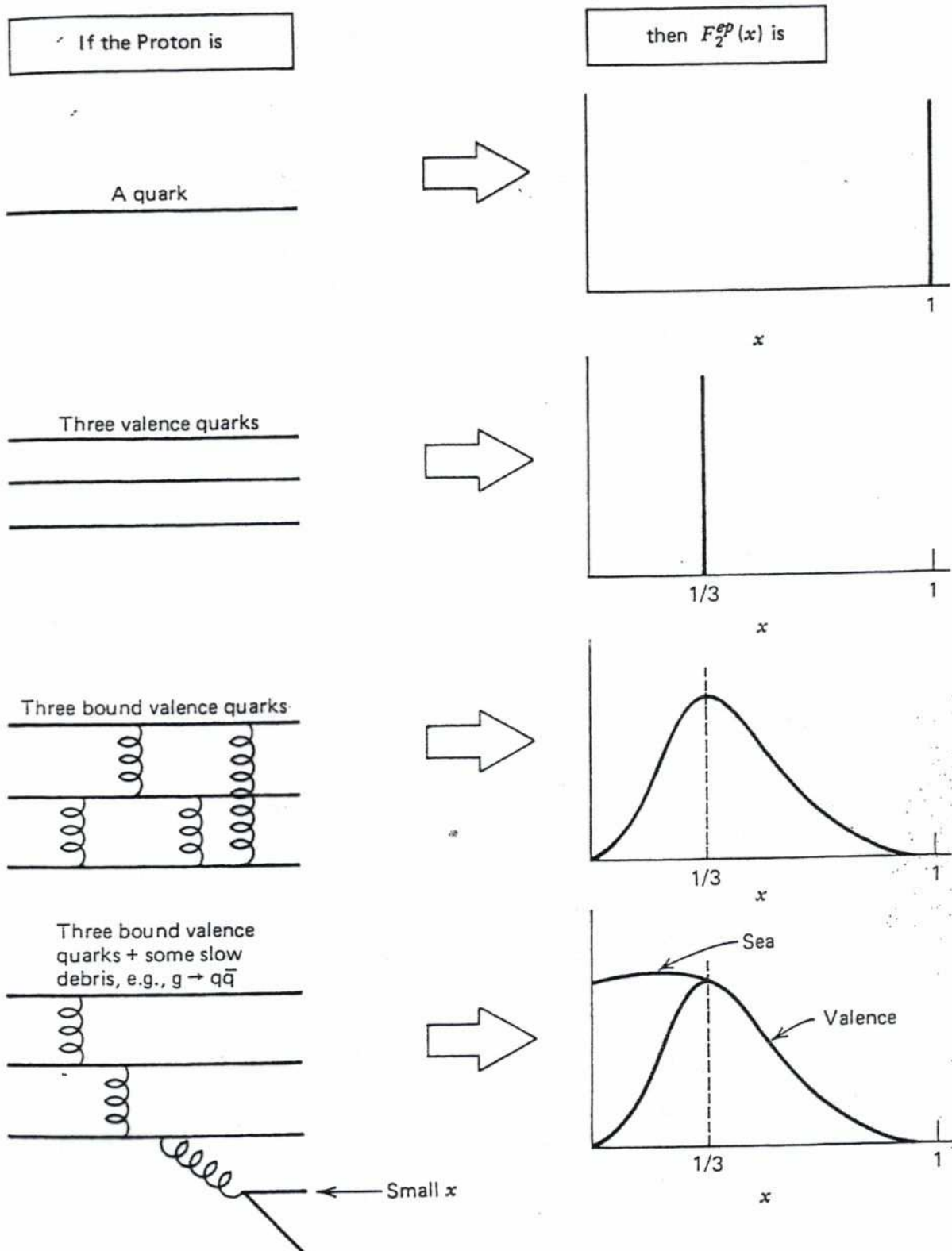
$$f_i(x) = \frac{dP_i}{dx} = \frac{\text{---}}{p} \longrightarrow \left. \begin{array}{c} i \\ \parallel \parallel \parallel \end{array} \right\} (1-x)p \quad xp$$

gegeben.  $f_i(x)$  ist die Wahrscheinlichkeit, dass ein getroffenes Parton den Bruchteil  $x$  des Protonimpulses trägt.

**Beachte:**  $f_i(x)$  kann nicht aus QCD-Theorie berechnet werden.

Die Evolution von  $f_i(x)$  mit  $Q^2$  wird aber durch die DGLAP-Evolutionsgleichung beschrieben!

# Veranschaulichung der Strukturfunktion



**Fig. 9.7** The structure function pictured corresponding to different compositions assumed for the proton.

## Messung der Protonstrukturfunktion $F_2$

- Der differenzielle Wirkungsquerschnitt im  $x$  und  $Q^2$  lautet:

$$\frac{d^2\sigma}{dx dQ^2} \stackrel{y \ll 1}{\approx} \frac{4\pi\alpha^2}{Q^4} \cdot \left[ \frac{1}{2} (1 + (1-y)^2) \cdot \frac{F_2(x, Q^2)}{x} \right]$$

(unter Annahme der Callan-Gross-Relation  $2 \times F_1(x, Q^2) = F_2(x, Q^2)$ )

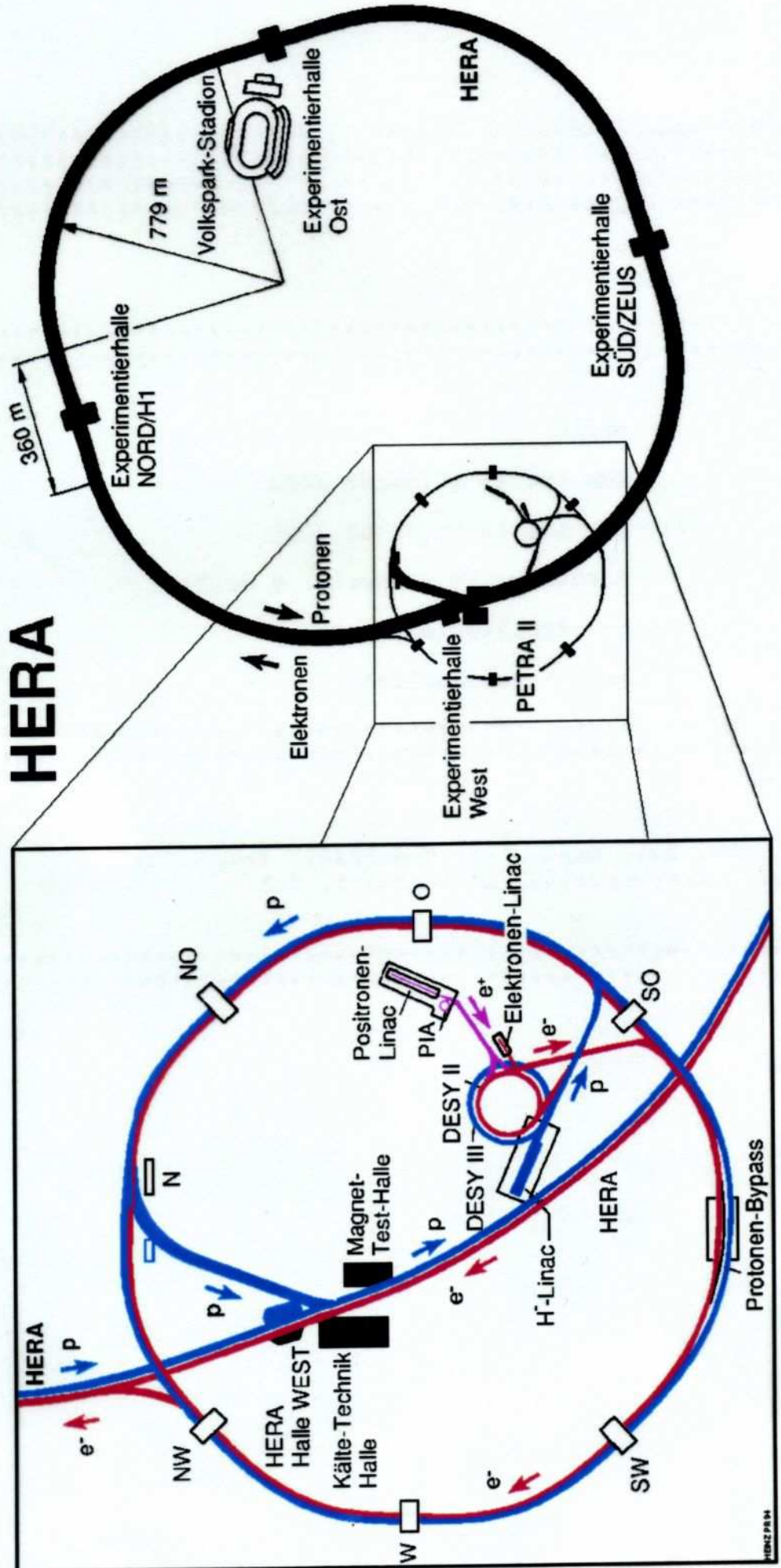
Die Strukturfunktion  $F_2$  ergibt sich durch Messung von  $\frac{d^2\sigma}{dx dQ^2}$  für Wertepaare  $(x, Q^2)$ , die sich aus dem beobachteten Endzustand ermitteln lassen.

$(Q^2$  aus Streuwinkel  $\vartheta$  und Energie  $E$  des Elektrons;  $Q^2 \approx 4E^2 \sin^2 \frac{\vartheta}{2}$ )  
 $x$  aus  $Q^2$  und Masse des Endzustandes  $W$ :  $x \approx \frac{Q^2}{Q^2 + W^2}$ )

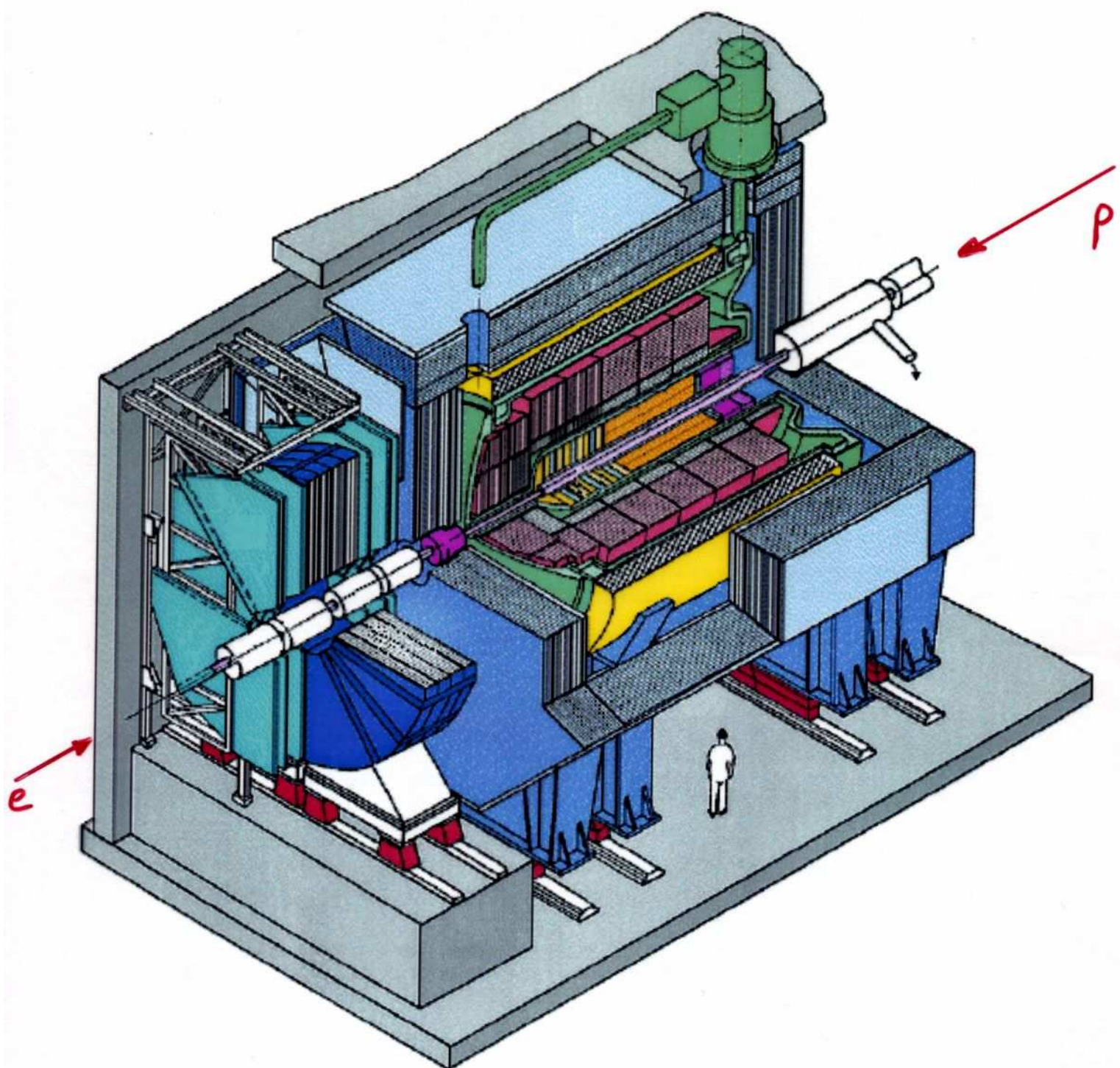
- Viele verschiedene Experimente; aktuellste am **HERA - Ringbeschleuniger**

$$E_{\text{Proton}} \approx 820 \text{ GeV} ; E_{\text{Elektron}} \approx 30 \text{ GeV}$$

$\Rightarrow$  maximale Energie im Stoß:  $\sqrt{s} \approx \sqrt{4E_p \cdot E_e} \approx 314 \text{ GeV}_{\text{c.c.}}$   
entspricht auch max. Impulsübertrag  $\sqrt{|q^2|}$



# H1 - Detektor



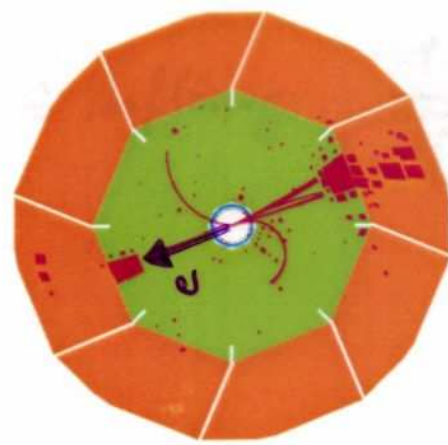


Run 224588 Event 9004 Class: 26

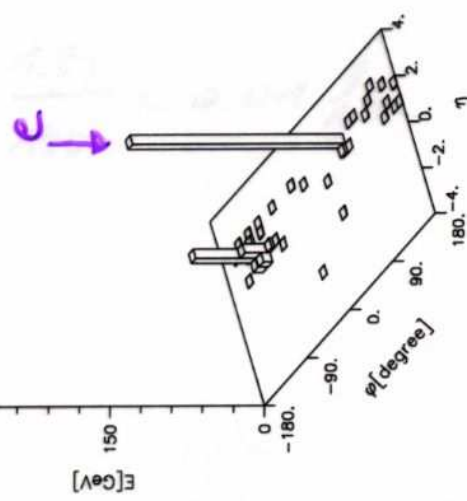
$$Q^{**2} = 22068 \text{ GeV}^2, \gamma = 0.74$$



Date 19/10/1998



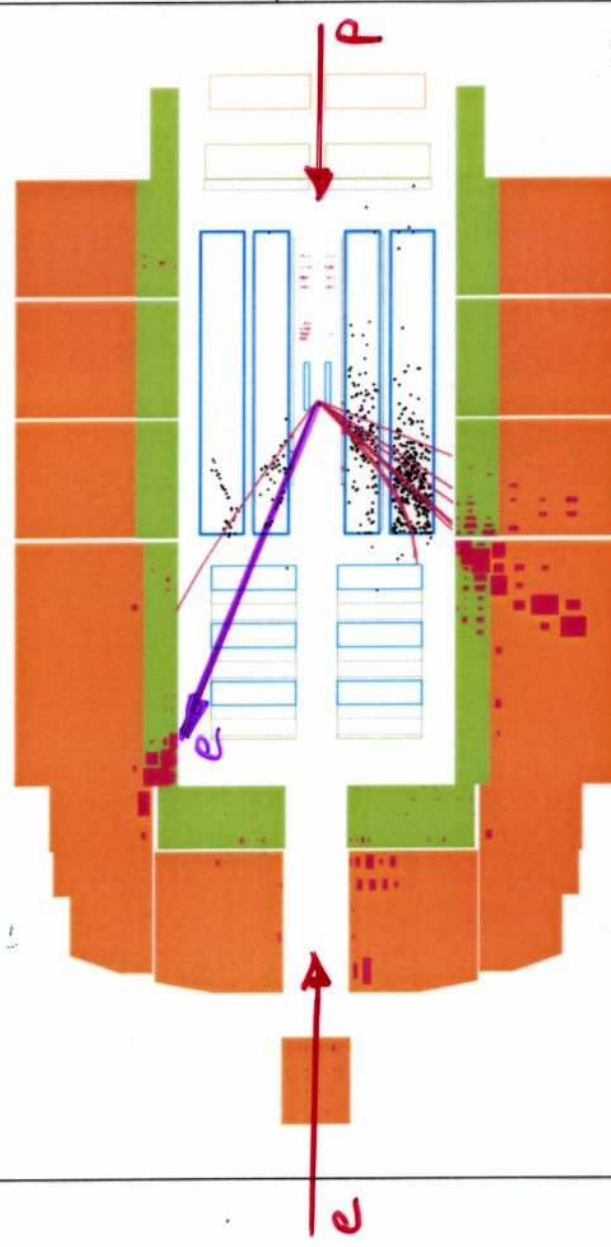
x  
y



E [GeV]  
0 150 300

phi [degree]  
-180. 0. 90. 180.

e  
P



Run 238837 Event 8595 Class: 4 5 6 7 11 19 25 26 28 run date 290399

$P_t = 1.39$   $Q^2 = 41067$   $x = 0.77$   $y = 0.53$



$x$

$y$

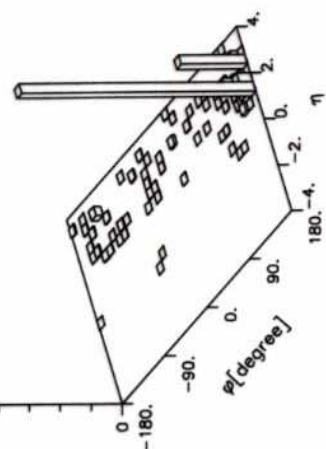


$E [\text{GeV}]$

300  
150

-180.  
-90.  
0.  
90.  
180.

phi [degree]

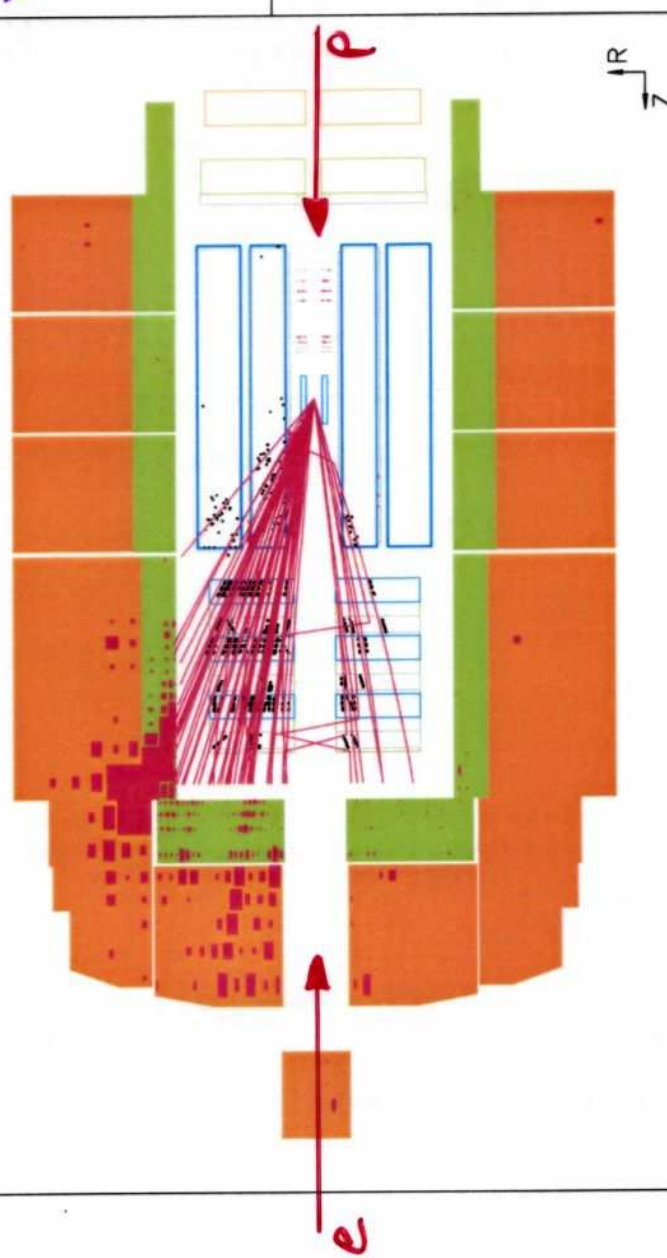


$E [\text{GeV}]$

300  
150

-4.  
-2.  
0.  
2.  
4.

eta



$R$

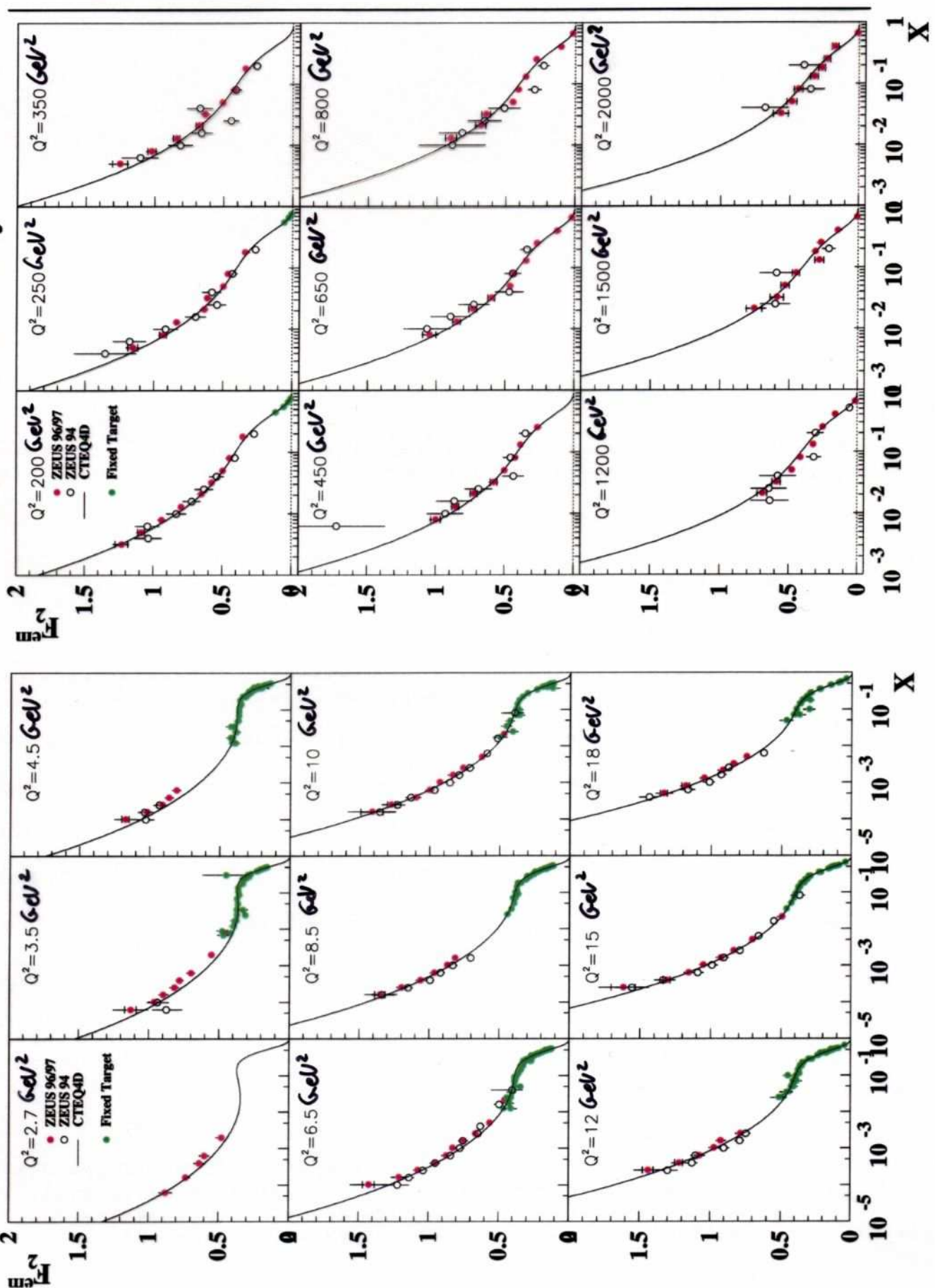
$z$

$r$

## ZEUS Preliminary 1996-97

## ZEUS Preliminary 1996-97

### Proton structure

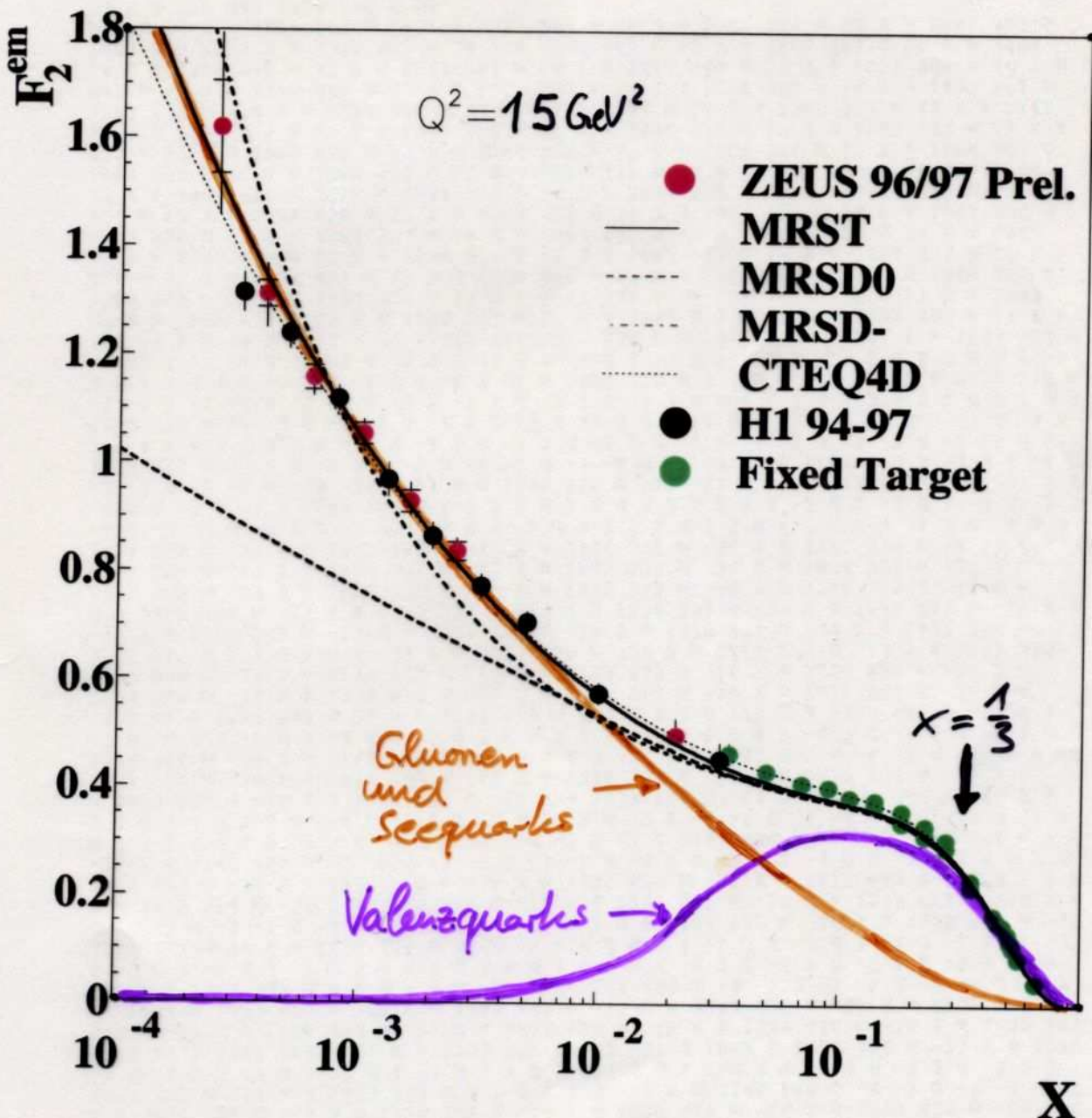


# Proton structure

## - The proton structure function $F_2$ :

$$F_2^{\text{NC}} = x \sum A_q (q(x) + \bar{q}(x)) \quad \begin{array}{l} \text{wenn anstatt Photon} \\ \text{ein } Z^0\text{-Boson ausgetauscht wird} \end{array}$$

$$F_2^{\text{em}} = x \sum e_q^2 (q(x) + \bar{q}(x)) \quad \begin{array}{l} q(x), \bar{q}(x) \text{ entsprechen} \\ f_i(x) \text{ für } i=q \text{ bzw. } \bar{q} \end{array}$$



- HERA: Low  $x$ : Rapid rise of  $F_2$  -  $F_2 \sim x^{-\lambda}$

## Partondichte im Proton

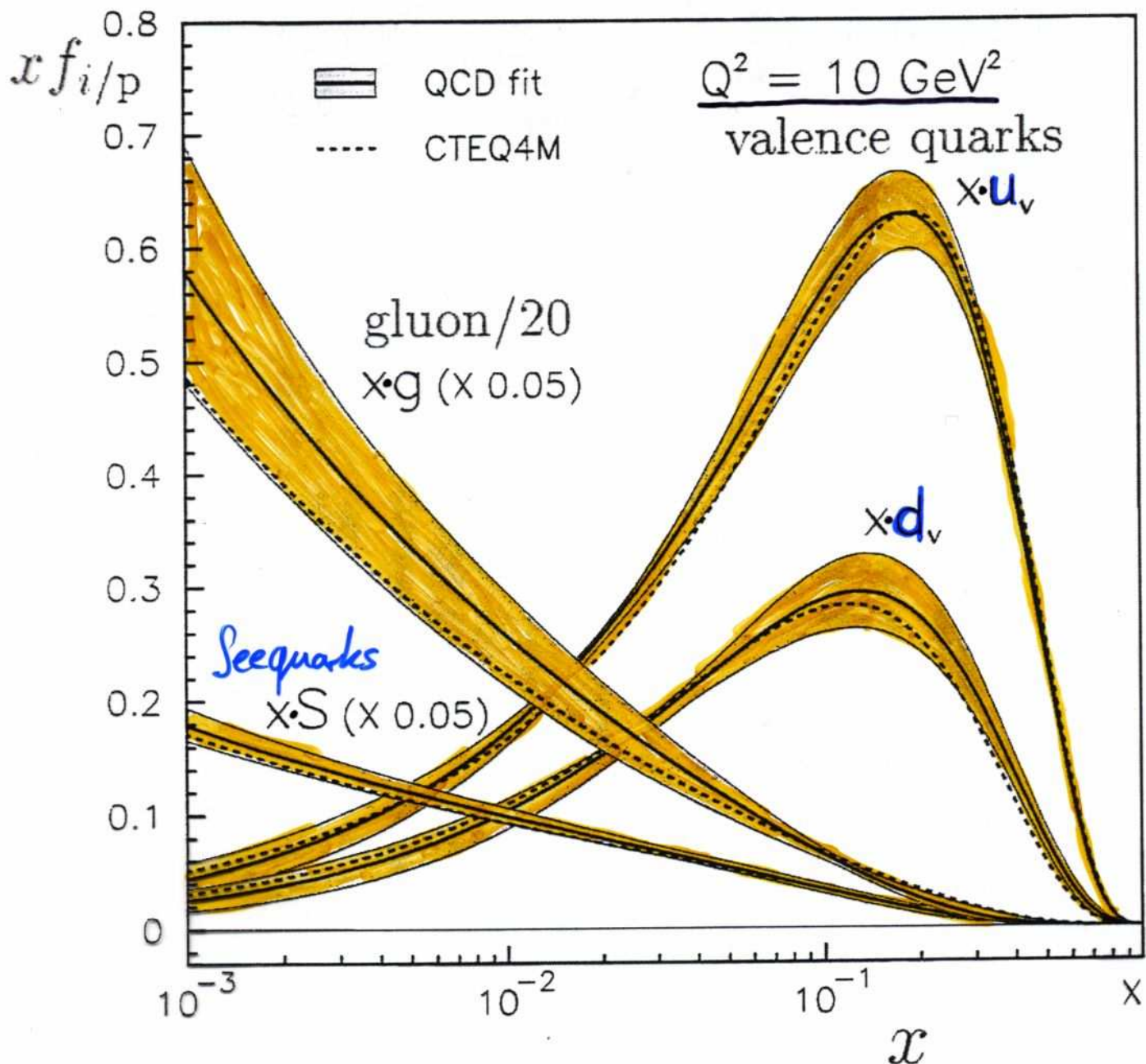
► Quarkdichten folgen aus:

$$F_2(x) = \sum_{\substack{i=u,d,s,c,\dots \\ \bar{u},\bar{d},\bar{s},\bar{c}}} e_i^2 \cdot x \cdot f_i(x)$$

► Gluondichte ist schwieriger zu messen (nutzt  $G \rightarrow c\bar{c}$  und Messung der charm Quarks)

$x q_i$

M. Botje, hep-ph/9912439



## Gluondichte im Proton

... nimmt zu mit steigender Auflösung ( $\frac{1.24 \text{ fm}}{\sqrt{Q^2} [\text{GeV}^2]}$ )

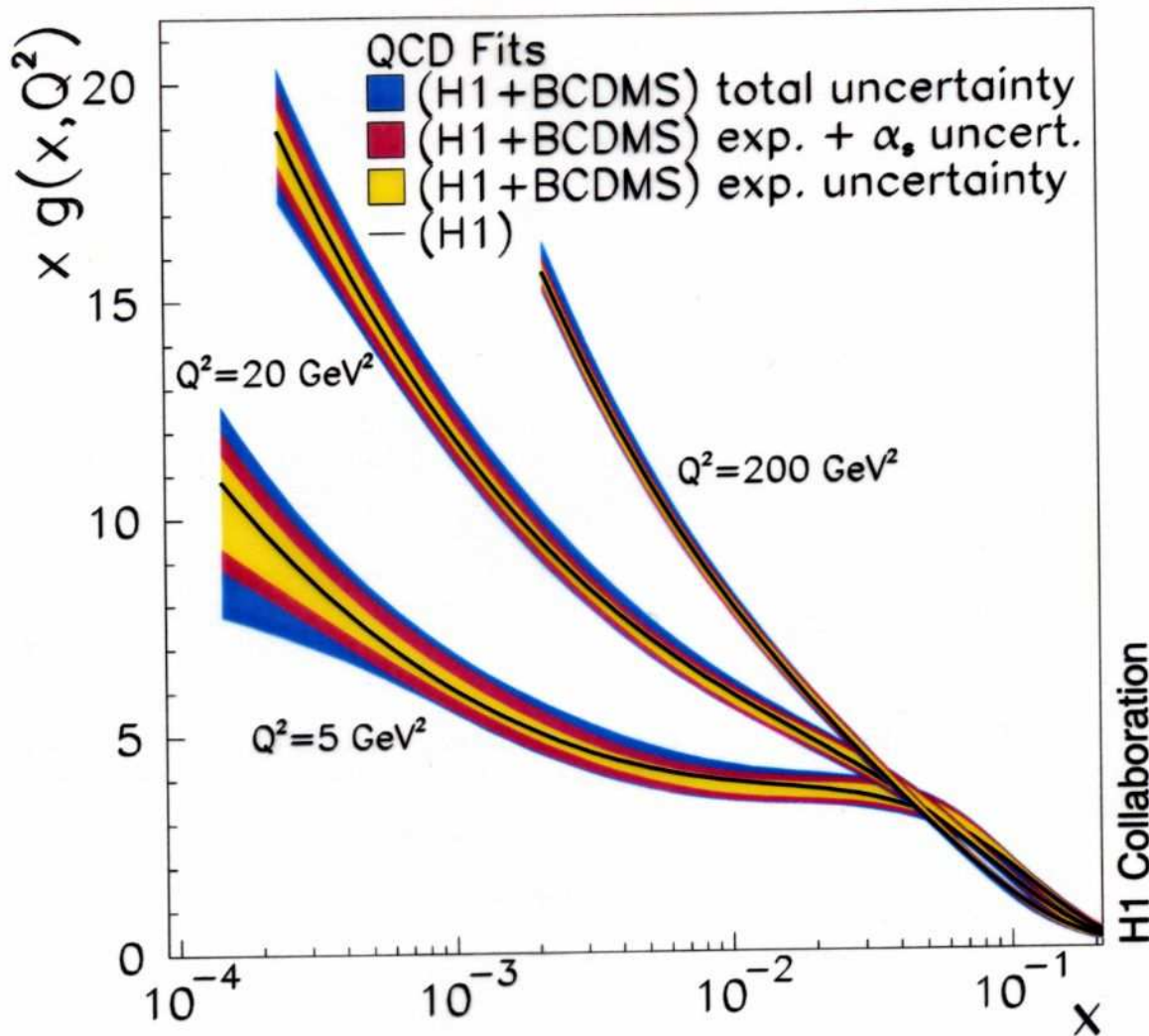


Figure 23: Gluon distribution resulting from the NLO DGLAP QCD fit to H1 ep and BCDMS  $\mu p$  cross section data in the massive heavy flavour scheme. The innermost error bands represent the experimental error for fixed  $\alpha_s(M_Z^2) = 0.1150$ . The middle error bands include in addition the contribution due to the simultaneous fit of  $\alpha_s$ . The outer error bands also include the uncertainties related to the QCD model and data range. The solid lines inside the error band represent the gluon distribution obtained in the fit to the H1 data alone.

## Konsequenzen aus Partondichten

- $\int dx \cdot (u_v(x) + d_v(x)) \simeq 0.5g$
  - $\int dx \cdot g(x) \simeq 0.41$
- ⇒ ■ Die Quarks tragen ca. 60% des  
Proton-Impulses & -Energie
- Die Gluonen tragen ca. 40% von  
Proton-Impuls & Energie

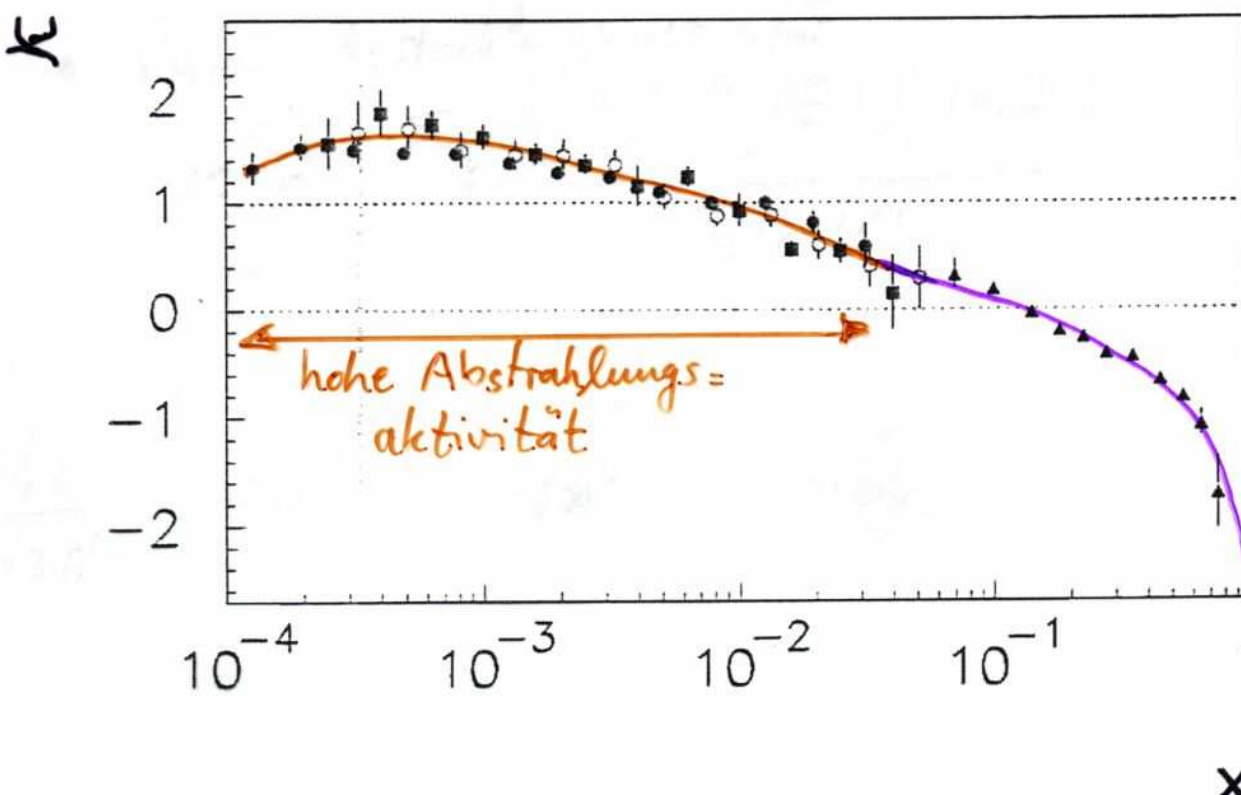
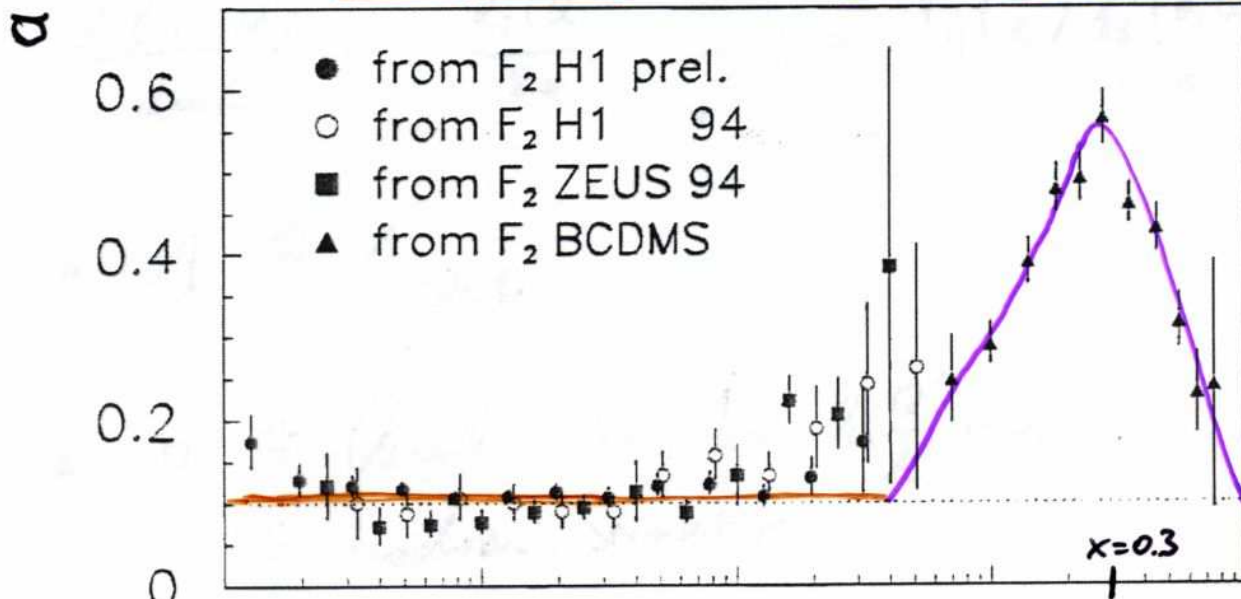
## Interpretation der Strukturfunktion

Parametrisierung:  $F_2(x, Q^2) = \underbrace{a(x)}_{\text{hadronische Struktur}} \cdot \underbrace{\left[ \ln \frac{Q^2}{\Lambda^2} \right]}_{\sim \frac{1}{\alpha_s(Q^2)}}^{x(x)}$  Strahlungsaktivität  
 $\ell^+ \nu \gamma \gamma \gamma$

zur Lösung der DGLAP-Evolutionsgleichung:

$$\frac{\partial F_2(x, Q^2)}{\partial \ln Q^2} \simeq \frac{\alpha_s(Q^2)}{2\pi} \int_x^1 \frac{d\xi}{\xi} P\left(\frac{x}{\xi}\right) \cdot F_2(\xi, Q^2)$$

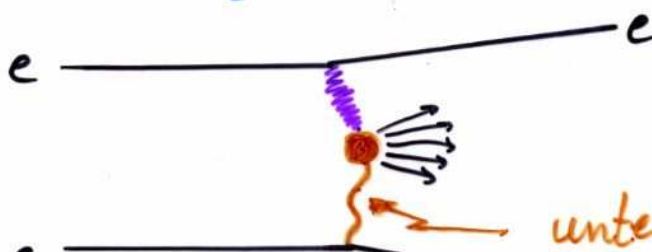
sea quarks                            valence quarks



## Photonstruktur

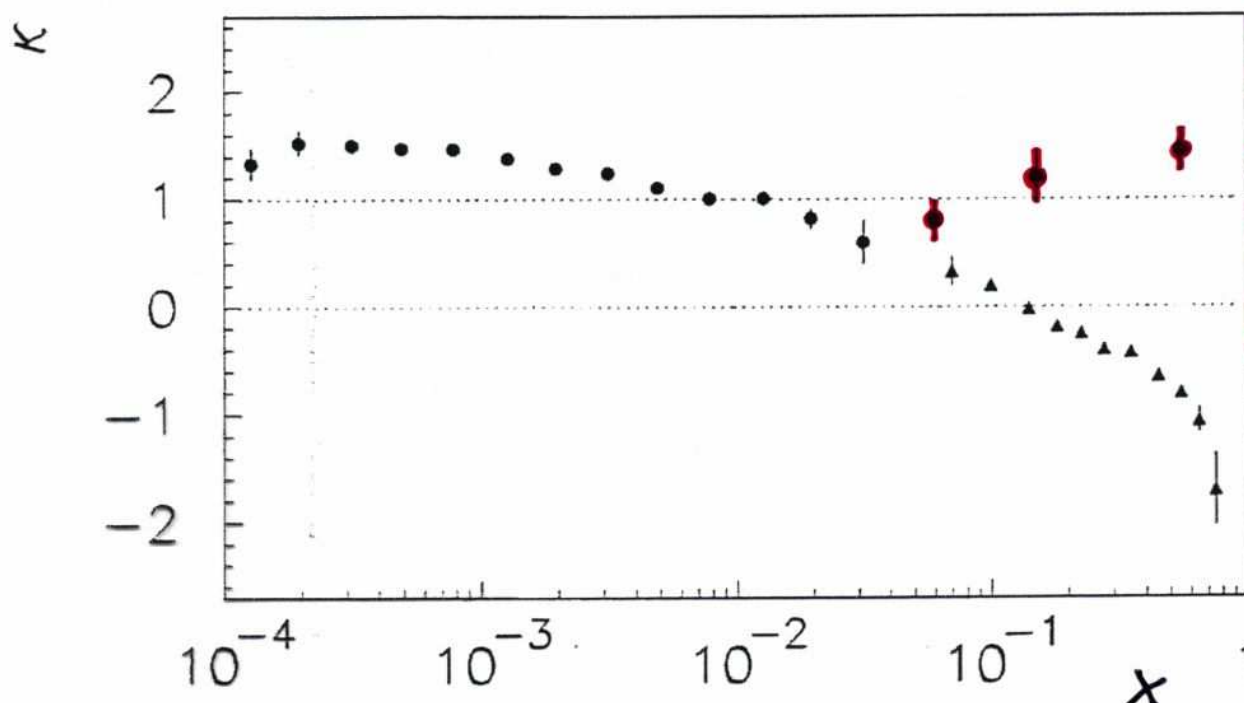
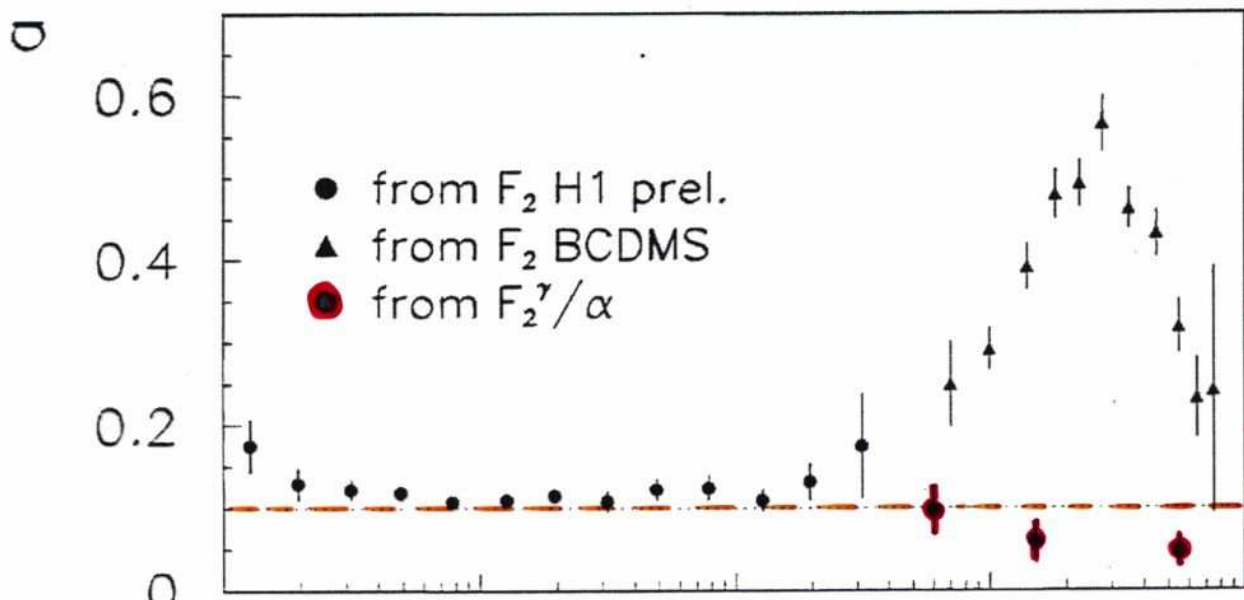
Photon:  $\gamma \sim = n_{\gamma} + n_{e^+}^{e^+} + n_{e^-}^{e^-} + \dots$

wird z.B. in  $e^+e^-$ -Streuung untersucht:



untersuchtes Photon mit Struktur in ●

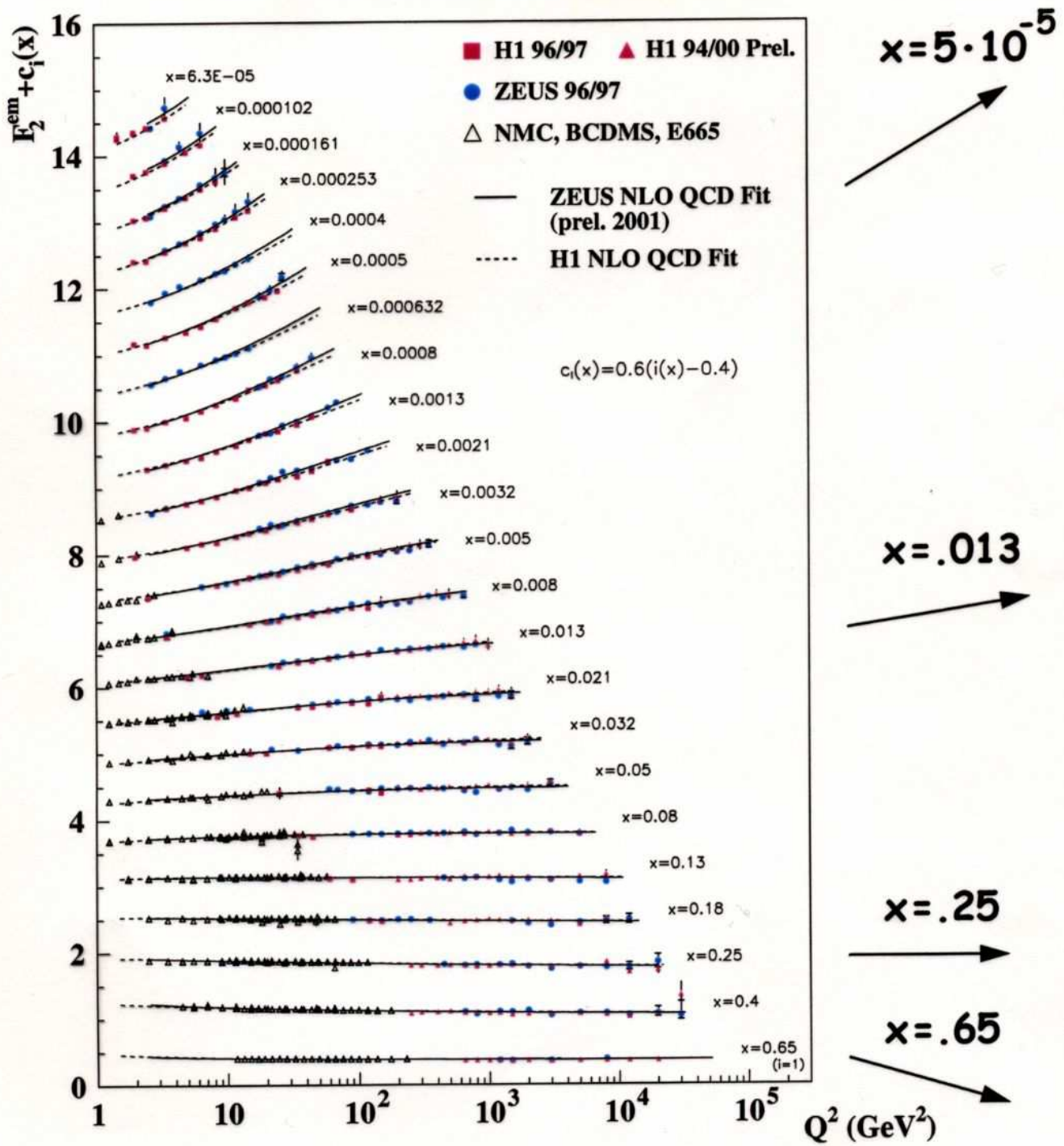
→ Photon - Strukturfunktion:  $F_2^\delta(x, Q^2) = a(x) \left[ \ln \frac{Q^2}{\Lambda^2} \right]^{X(x)}$



Photon-  
struktur  
stammt  
aus der  
Strahlungs-  
aktivität,  
d.h. keine  
Vabenz =  
quark-  
beiträge!

# $F_2(x, Q^2)$ : Present Status

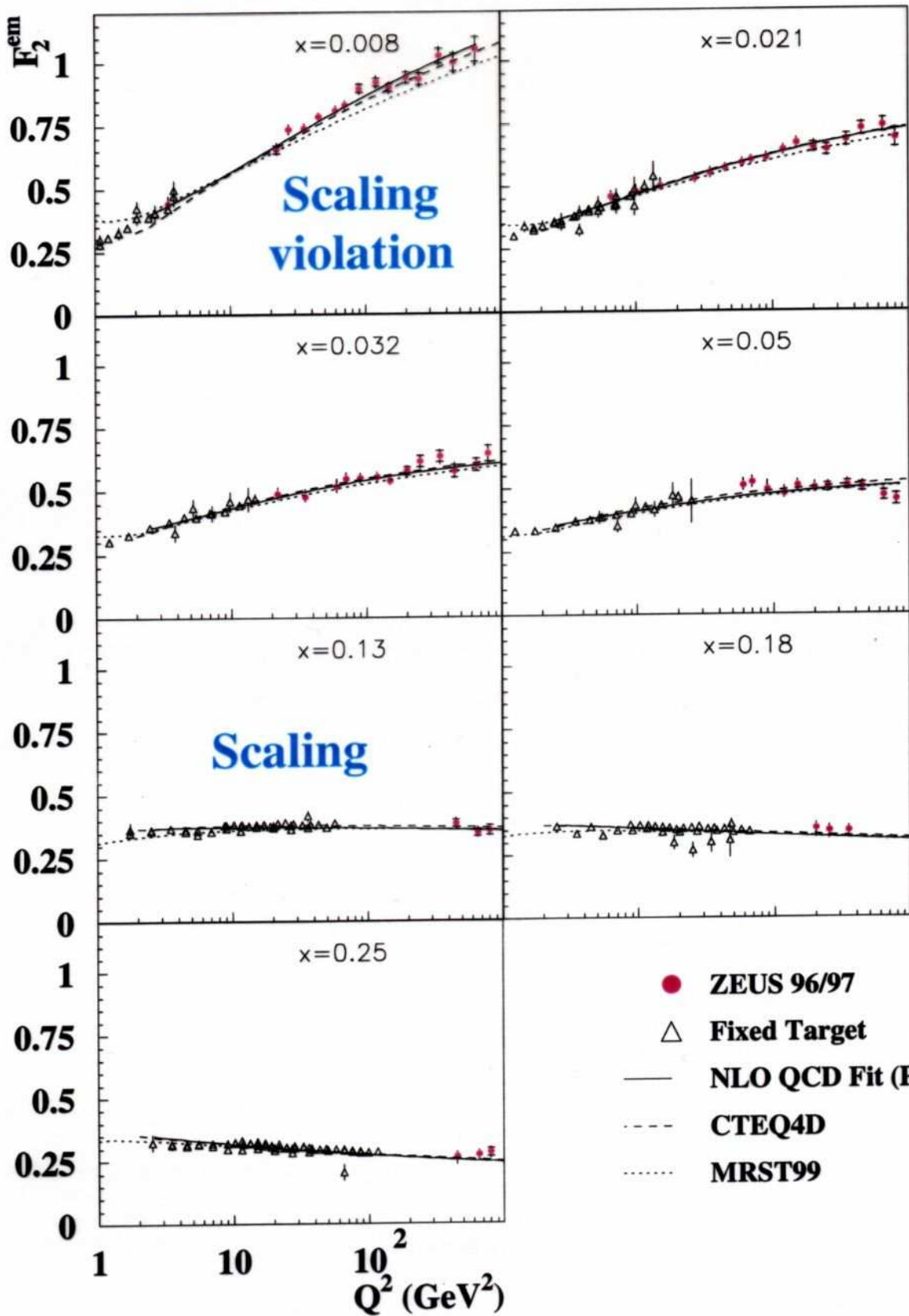
$$F_2(x, Q^2) = x \sum e_q^2 q(x, Q^2)$$



# Verletzung des Björken Sculings

## Proton structure

### ZEUS Preliminary 1996-97



Für sehr  
kleine und  
sehr große  
Impulsbrach-  
teile  $x$  ist  
Björken Sca-  
ling ( $F_2 =$   
const.) ver-  
letzt.

Ursache:  
Energieab-  
hängigkeit  
der starken  
Kopplungs-  
konstanten  
 $\alpha_s(Q^2)$

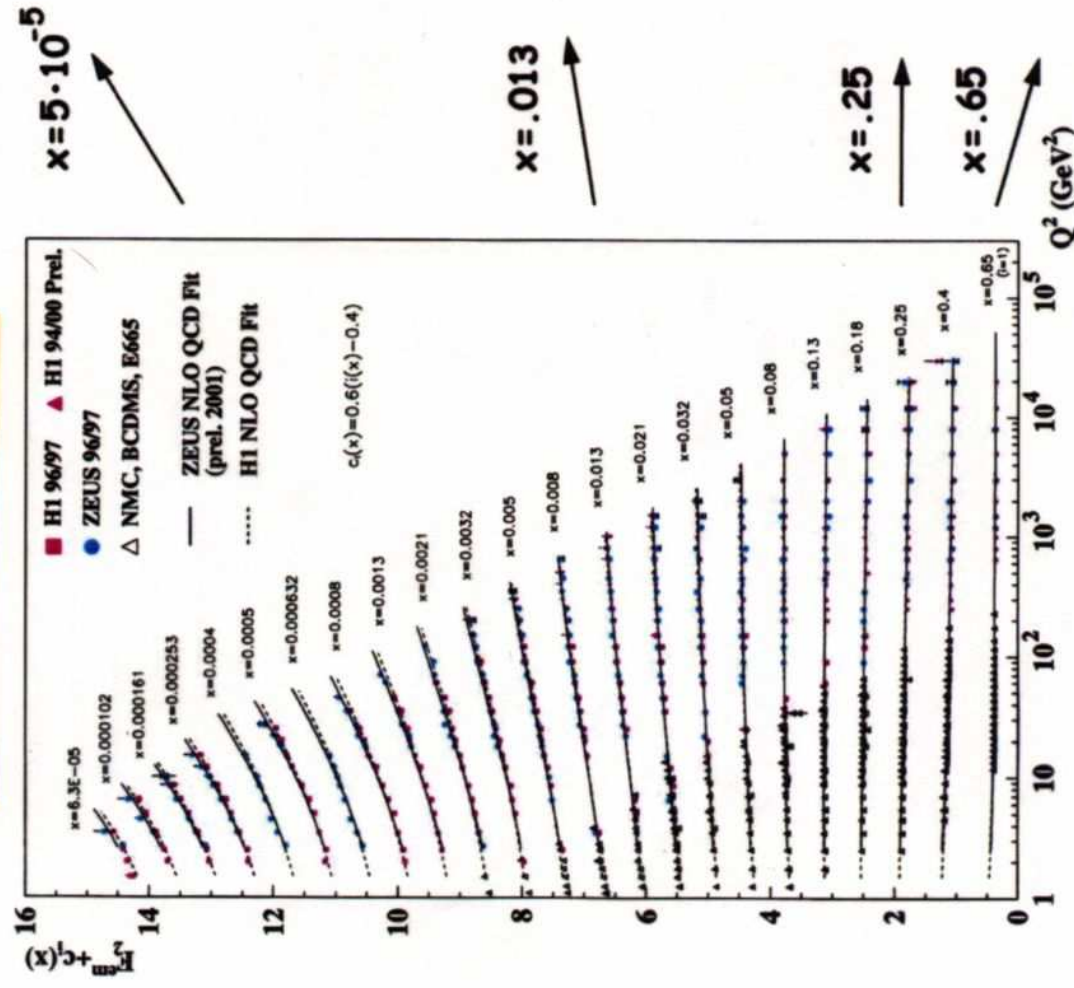
## Zur Bedeutung der Proton-Strukturfunktion

### Proton-Struktur

8.15

### Proton-Strukturfunktion

$$F_2(x, Q^2) = x \sum e_q^2 q(x, Q^2)$$



### Impulsanteile der Partonen im Proton ( $t = Q^2$ )

$$\int_0^1 dx x \cdot f_i(x, Q^2)$$

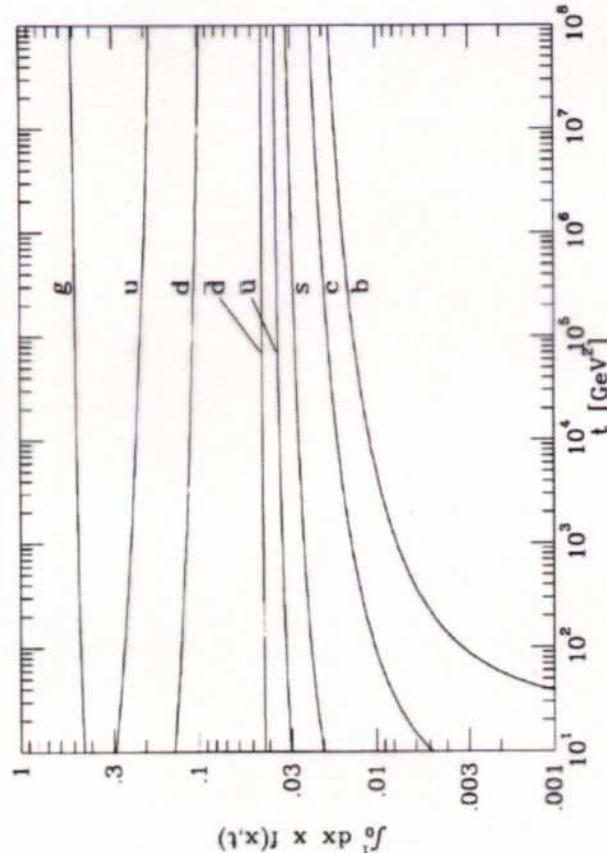


Fig. 4.14. Momentum fractions carried by the quarks and gluons as functions of the scale.

- Gluonen: 40-50% !
- Valenzquarks: nur je 10-30%
- Seequarks: ~ 5%

# Zur Bedeutung der Proton-Strukturfunktion

Faktorisierung: Partondichtefunktion  $\otimes$  2 $\rightarrow$ 2-Prozess

8.16

## Faktorisierung: Partondichtefunktion $\otimes$ 2 $\rightarrow$ 2-Prozess

In Proton-(Anti-)Proton-Collidern:

- ◊ inelastischer Stoß zwischen Proton-(Anti-)Proton
- $\hat{=}$  harter Stoß zwischen zwei Partonen  
(Parton=Quark, Antiquark oder Gluon)
- ◊ Partonen stammen aus Proton/(Anti-)Proton
  - Partondichtefunktion  $f_i(x)$  (Protonstrukturkt.  $F_2(Q^2, x)$ )
  - Wahrscheinlichkeit: Parton mit  $x$  in (Anti-)Proton
- Faktorisierung: Partondichte/Protonstruktur  $\otimes$  harter Stoß separate Beschreibung
  - ▷ Partonen mit Impulsbruchteil  $x_1, x_2$  aus Proton/(Anti-)Proton (Faktorisierungs-Energieskala  $\mu_F^2 \ll Q^2$ )
  - ▷ harter Stoß zwischen diesen Partonen mittels QCD:  $2 \rightarrow 2$  (Energieskala des Stoßes  $\mu^2 = Q^2$ )

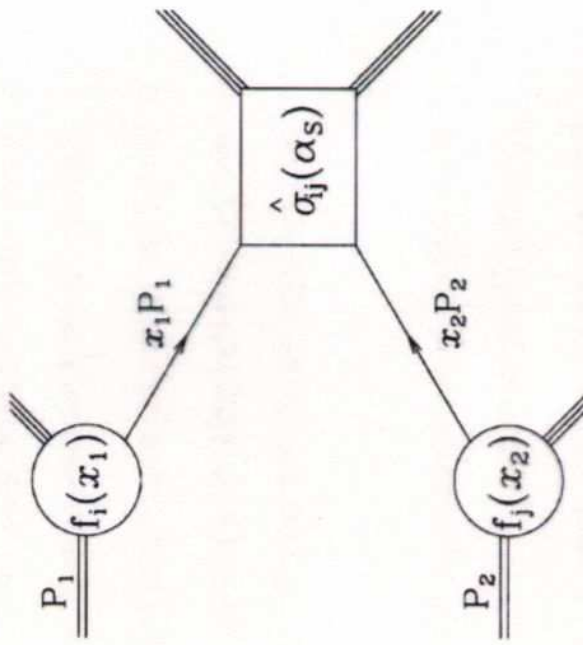


Fig. 7.1. The parton model description of a hard scattering process.

Protonstrukturfunktion  $F_2(x, Q^2) \longrightarrow$  Partondichtefunktion  $f_i(x) \longrightarrow$  Luminosität von Partonen für harten Stoß

# Zur Bedeutung der Parton-Strukturfunktion

Faktorisierung: Partondichtenfunktion  $\otimes$   $2 \rightarrow 2$ -Prozess

## Parton-Luminositäten:

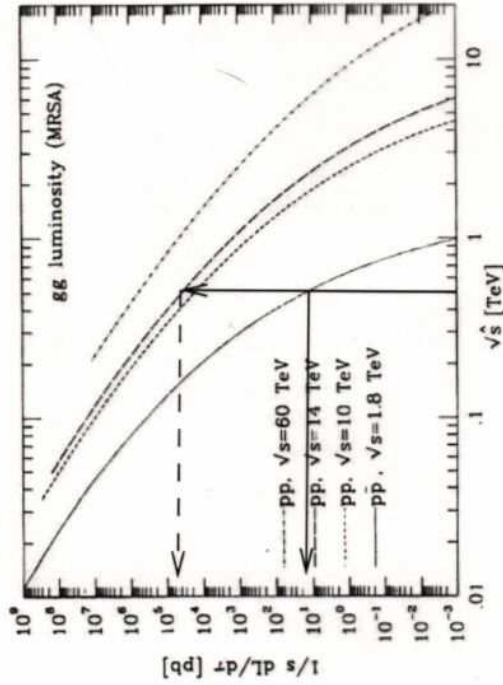


Fig. 7.2. Luminosity plot for gluon-gluon induced processes.

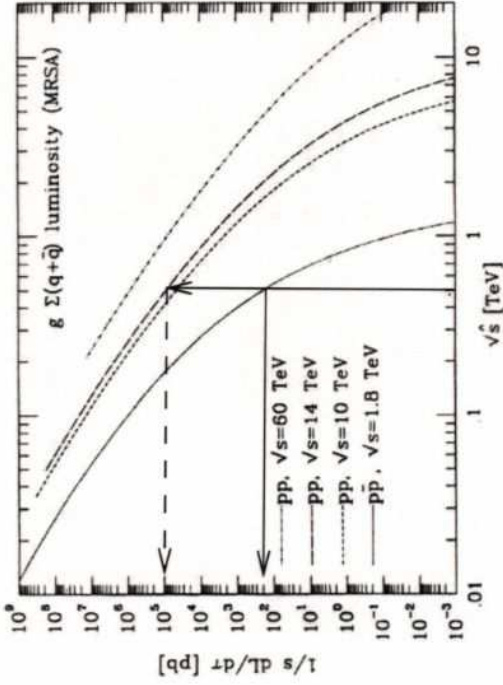


Fig. 7.3. Luminosity plot for gluon-quark induced processes.

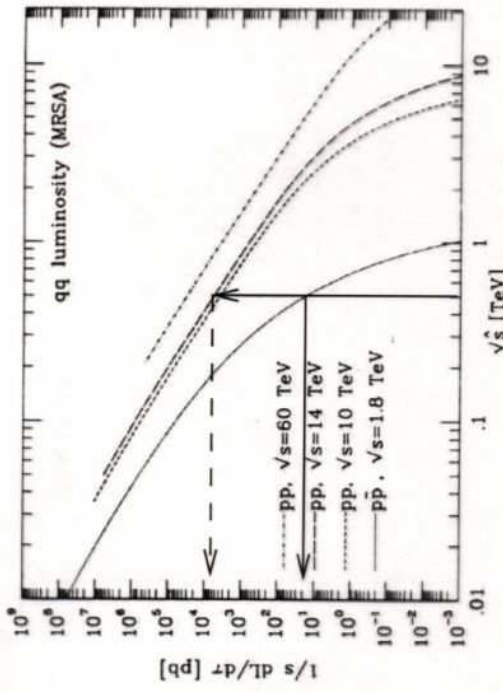


Fig. 7.4. Luminosity plot for quark-quark induced processes.

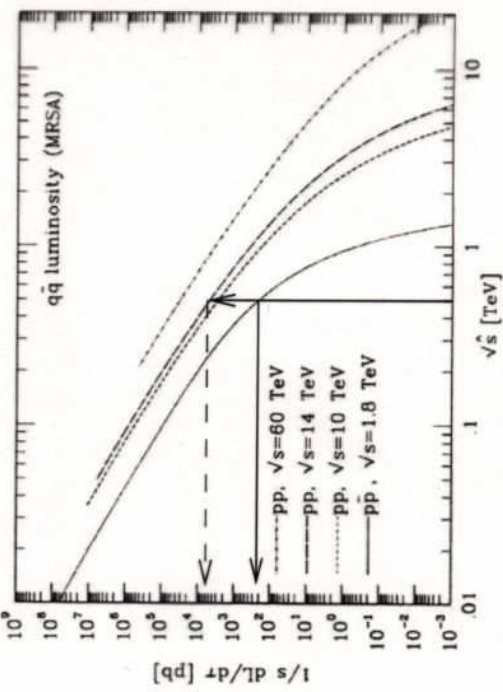


Fig. 7.5. Luminosity plot for quark-antiquark induced processes.

→ Quark-Antiquark- & Gluon-(Anti-)Quark-Prozesse bei Tevatron, Gluon-Gluon- & Gluon-Quark-Prozesse bei LHC dominant

$$S. Beßke, O. Blebel, J. Schieck \quad \tau(dL_{ij}/d\tau) \propto \int_0^1 dx_1 dx_2 [(x_1 f_i(x_1, \mu_F^2) \cdot x_2 f_j(x_2, \mu_F^2)) + (1 \leftrightarrow 2)] \delta(\tau - x_1 x_2)$$

WS 2004/05

# Zur Bedeutung der Proton-Strukturfunktion

Faktorisierung: Partondichte fuktion  $\otimes$   $2 \rightarrow 2$ -Prozess

8.18

## Harte $2 \rightarrow 2$ -Prozesse:

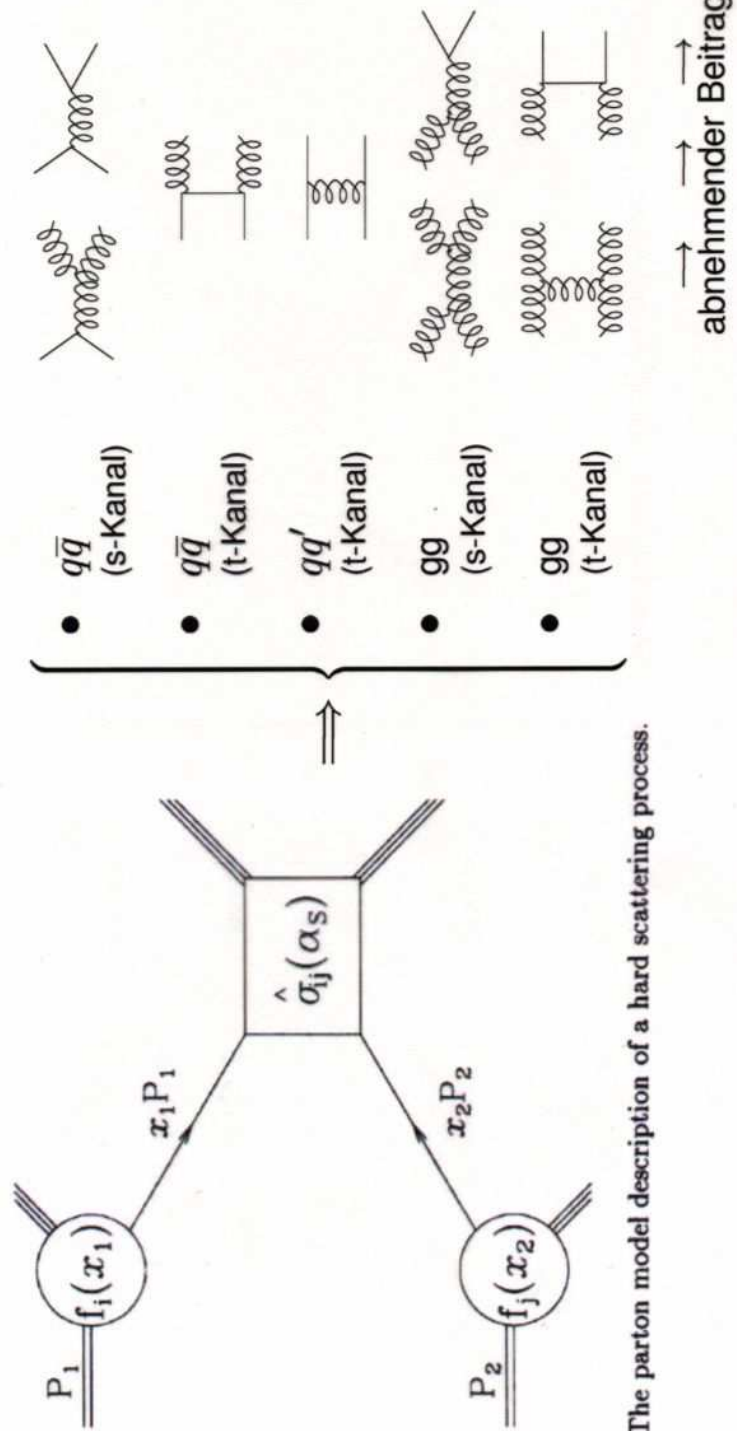


Fig. 7.1. The parton model description of a hard scattering process.

$$\sigma(s) = \sum_{\{ij\}} \int_{\tau_0}^1 \frac{d\tau}{\tau} \left[ \frac{dL_{ij}(\mu_F^2)}{d\tau} \right] \cdot \left[ \hat{s} \cdot \hat{\sigma}_{ij}(\alpha_S(\mu^2)) \right]$$

$$\hat{s} = \tau s = x_1 x_2 s$$

mit effektiver Schwerpunktsenergie:

(z.B.:  $\sqrt{s} = 1.96$  TeV für Tevatron,

$\sqrt{s} = 14$  TeV für LHC)

## Struktur des Protons

... ist überaus reichhaltiger und komplizierter als vom statischen Quarkmodell erwartet:

- Quarks tragen ~60% des Protonimpulses
- Gluonen tragen ~40%
- Das Proton ist mit sehr, sehr vielen niederenergetischen Gluonen aufgefüllt
- auch niederenergetische See-Quarks tragen zur Protonstruktur bei

Aber noch ist die Protonstruktur nicht restlos verstanden.

Z.B. ist das Zustandekommen des Protonspins noch unklar: Valenzquarks tragen mit ca. 60% bei, See-Quarks gar nicht, der Gluonbeitrag ist noch ungewiss. Auch eine kollektive Rotation der Valenzquarks könnte einen Beitrag zum Protonspin leisten.